

---

# Affine Afbildninger

## Geometrisk Deformationsteori I

### Temaopgave

v./ Steen Markvorsen, DTU Matematik, 7. oktober 2011

01008 Temaøvelser i Matematik 1 - TEMA 2, 2013

## 1 Alt flyder!

Deformationer kan observeres allevegne. Væsker, krystaller, bjælker, billeder, bogstaver, skaller, elastikker; alt *kan* deformeres – og alt *bliver* deformeret! Se blot:

<http://en.wikipedia.org/wiki/Heraclitus>

DTU-kurserne Kontinuum-fysik, Differentialgeometri, Fluid dynamik, Styrkelære, Krystallografi, Træteknologi, Ingeniørgeologi, Betonkonstruktioner, Beregninger på geometriske data, Billed-analyse, Transportprocesser, er blot nogle af mange eksempler på spændende kurser på DTU, hvor du kan lære at analysere, forstå, og anvende deformationer i de respektive sammenhænge.

Denne tema-opgave handler om de simplest mulige deformationer af de simplest mulige geometriske objekter, nemlig lineære afbildninger af plane trekanten. Specifikt vil vi undersøge om - og i givet fald hvordan - en given trekant kan deformeres (afbildes eller transformeres) over i en anden given trekant ved brug af en lineær afbildning.

Temaopgaven tager udgangspunkt i en fantastisk sætning, som viser, at enhver sådan deformation kan *sammensættes af elementar-deformationer*: rotationer om Origo og skaleringer i akseretningerne, se sætning 5.1 nedenfor.

Vi vil ikke bevise den sætning her, fordi det kræver nogle værktøjer, som først bliver introduceret i Matematik 1 til foråret, men vi vil se, hvordan vi kan *bruge* sætningen og dermed *forstå*, dels hvad den går ud på og dels hvorfor den er uundværlig i alle de kurser, der nævnes ovenfor. Senere – til sidst i dette kursus, i temaopgave 4 – vil vi gennemføre en generel behandling af lineære deformationer i rummet og der tilsvarende bevise det helt generelle resultat.

### 1.1 Forberedelse

Som individuel forberedelse (før gruppearbejdet) til denne temaopgave kan du med fordel se eller gense den video til 01005 Matematik (uge 6–7) med Kasper, Søren, og Niels Jørgen,

---

som handler om *lineære afbildninger*: <http://www.youtube.com/watch?v=ntbvcjD-F7s>.

Derudover skal vi især bruge begreber og resultater fra eNote 6 (afsnit 6.8) og fra eNote 8 (afsnittene 8.2 og 8.5 samt eksempel 8.19). I denne tekst er der ialt 17 opgaver hvoraf 2 er frivillige. Det anbefales, at du som forberedelse kigger på de første 4 opgaver.

## 2 Affine afbildninger i planen

Vi vil bruge et sædvanligt retvinklet koordinatsystem  $\{O, \mathbf{i}, \mathbf{j}\}$  i planen som i eNote 6 – se afsnit 6.8 i den eNote.

Affine afbildninger er sammensat af lineære afbildninger og parallelforskydninger. Vi får derfor også brug for beskrivelsen og gennemgangen af lineære afbildninger af vektorrummet bestående af geometriske vektorer i planen på sig selv som præsenteret i eNote 8 – se afsnittene 8.2 og 8.5 og eksempel 8.19 i det afsnit.



Vi vil bruge én og kun én basis til beskrivelse af de geometriske vektorer i planen, nemlig den der er givet ved det sædvanlige retvinklede koordinatsystem  $\{O, \mathbf{i}, \mathbf{j}\}$ . De lineære afbildninger, parallelforskydningerne, vektorerne og deres billedvektorer vil alle blive beskrevet ved deres koordinater med hensyn til denne ene basis. Derfor vil vi undlade at 'garnere' vektorer og afbildnings-matricer med basis-referencer – som vi ellers burde – og simpelthen blot skrive  $\mathbf{K}$  for  ${}_e\mathbf{K}_e$  og tilsvarende for de geometriske vektorer skriver vi  $\mathbf{a}$  i stedet for  ${}_e\mathbf{a}$ .

### 2.1 Lineære afbildninger

En lineær afbildning  $f$  af mængden af geometriske vektorer i planen (afsat ud fra Origo  $O$ ) ind i sig selv er som bekendt bestemt ved

$$f : \mathbf{x} \rightarrow f(\mathbf{x}) = \mathbf{K}\mathbf{x} \quad , \quad (1)$$

hvor  $\mathbf{K}$  er *afbildningsmatricen* for den givne afbildning med hensyn til standardbasis.

### 2.2 Trekanter

En *trekant*  $\Delta = \Delta(p, \mathbf{a}, \mathbf{b})$  i planen er – som beskrevet i eNote 6, afsnit 6.8.2 – givet ved to vektorer  $\mathbf{a}$  og  $\mathbf{b}$  og et fælles fodpunkt  $p = (p_1, p_2)$ . Trekanten er så at sige udspændt af det *hængsel*, der har kantvektorerne  $\mathbf{a}$  og  $\mathbf{b}$  afsat ud fra ophængnings-punktet  $p$ , se figur 1 til højre. Den specielle trekant  $\Delta(O, \mathbf{i}, \mathbf{j})$  vil vi kalde *basistrekanten* i planen, se figur 1 til venstre.

---

## 2.3 Affine afbildninger af trekanter

De punkter i planen som ligger inde i (eller på en kant af) basistrekanten  $\Delta(O, \mathbf{i}, \mathbf{j})$  ønskes afbildet ind i (eller på en kant af) trekanten  $\Delta(p, \mathbf{a}, \mathbf{b})$ . Det gør vi på følgende måde, se eNote 8, Definiton 8.15:

Først konstrueres matricen  $\mathbf{K}$  ved hjælp af de to vektorer  $\mathbf{a}$  og  $\mathbf{b}$  således:

$$\mathbf{K} = \begin{bmatrix} \mathbf{a} & \mathbf{b} \end{bmatrix} , \quad (2)$$

og dernæst betegner vi *stedvektoren* fra  $O$  til fodpunktet  $p$  med (ikke overraskende)  $\mathbf{p}$ .

Så vil afbildningen

$$\mathbf{A} : \mathbf{x} \rightarrow \mathbf{A}(\mathbf{x}) = f(\mathbf{x}) + \mathbf{p} = \mathbf{K}\mathbf{x} + \mathbf{p} \quad (3)$$

afbilde hele basis-trekanten  $\Delta(O, \mathbf{i}, \mathbf{j})$  på trekanten  $\Delta(p, \mathbf{a}, \mathbf{b})$ . Med andre ord, hvis  $\mathbf{x}$  er stedvektor til et punkt inde i (eller på en kant af)  $\Delta(O, \mathbf{i}, \mathbf{j})$  så er  $\mathbf{A}(\mathbf{x})$  stedvektor til et punkt inde i (eller på en kant af) trekanten  $\Delta(p, \mathbf{a}, \mathbf{b})$ .

**OPGAVE 1.** Overvej detaljen i den påstand. Vink: Hvis  $\mathbf{x}$  er en linearkombination af  $\mathbf{i}$  og  $\mathbf{j}$  således at  $\mathbf{x} = \alpha \cdot \mathbf{i} + \beta \cdot \mathbf{j}$ , så er  $\mathbf{K}\mathbf{x} = \mathbf{A}(\mathbf{x}) - \mathbf{p}$  en linearkombination (med de samme koefficienter  $\alpha$  og  $\beta$ ) af  $\mathbf{a}$  og  $\mathbf{b}$ . De linearkombinationer, der er aktuelle for trekanterne har  $\alpha \geq 0$ ,  $\beta \geq 0$ , og  $\alpha + \beta \leq 1$ .

**DEFINITION 2.1.** En afbildning  $\mathbf{A}$  som er konstrueret på ovenstående måde ud fra to vektorer  $\mathbf{a}$  og  $\mathbf{b}$  samt et punkt  $p$  kaldes en *affin afbildning* af planen ind i planen. En affin afbildning – en affin deformation – består altså af en lineær afbildning (givet ved matricen  $\mathbf{K}$ ) efterfulgt af en translation (givet ved stedvektoren  $\mathbf{p}$ ).

En vilkårlig figur i planen bliver altså ført over i en anden figur i planen ved at vi lader den affine afbildning 'virke' på alle stedvektorerne i figuren i henhold til afbildnings-forskriften  $\mathbf{A}$  ovenfor.

I det følgende vil vi 'nøjes' med at betragte affine afbildningers 'virkning' på basistrekanten, og i forlængelse af notationen ovenfor vil vi simpelthen tillade os at skrive

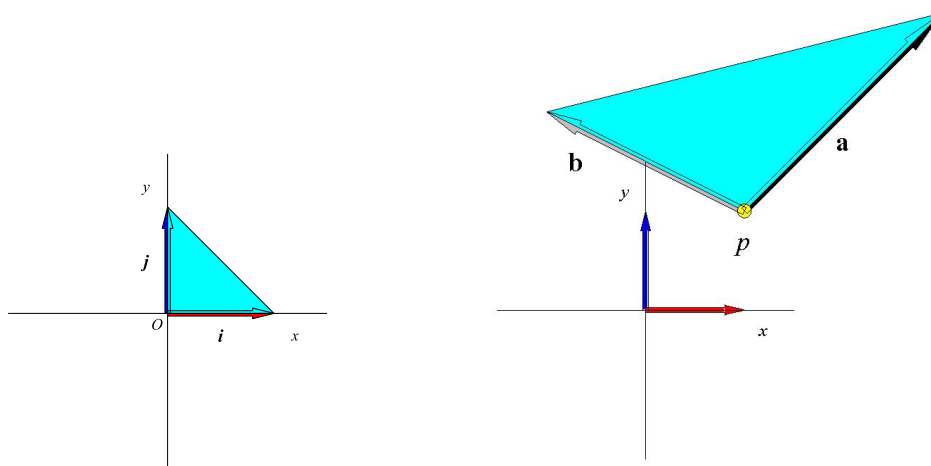
$$\Delta(p, \mathbf{a}, \mathbf{b}) = \mathbf{K} \Delta(O, \mathbf{i}, \mathbf{j}) + \mathbf{p} . \quad (4)$$

Vi vil især beskæftige os de lineære afbildningsmatricer  $\mathbf{K}$ ; det er dem, der indeholder den egentlige *deformation* af trekanterne.

**OPGAVE 2.** Vis, at arealet af den deformerede trekant  $\Delta(p, \mathbf{a}, \mathbf{b}) = \mathbf{K} \Delta(O, \mathbf{i}, \mathbf{j}) + \mathbf{p}$  er givet ved

$$\text{Areal}(\Delta(p, \mathbf{a}, \mathbf{b})) = \frac{1}{2} |\det(\begin{bmatrix} \mathbf{a} & \mathbf{b} \end{bmatrix})| = \frac{1}{2} |\det(\mathbf{K})| . \quad (5)$$

Vink: Se eNote 6, Sætning 6.52.



Figur 1: Basistrekanten til venstre og en deformeret trekant til højre.

Et af formålene med denne temaøvelse er at indse, at enhver lineær  $2 \times 2$ -afbildnings-matrix  $\mathbf{K}$  kan dekomponeres i fire faktorer, nemlig to rotationer (om Origo) og to skaleringer (én i  $x$ -aksens retning og én i  $y$ -aksens retning).

Enhver ønsket trekant i planen kan derfor fremstilles og bygges op ud fra basistrekanten ved at bruge 5 elementar-deformationer: to rotationer, to skaleringer, og en parallelforskydning på basistrekanten. Den faktorisering, den proces, er illustreret med et konkret eksempel i figur 2.

For at få præcis fat i, hvad der foregår i den animation vil vi først se på og præcisere de lineære afbildninger, som vi kalder *rotationer* og *skaleringer*.

### 3 Rotationer omkring Origo

Rotationerne, dvs. drejningerne af vektorerne i planen, er behandlet i eNote 8 Eksempel 8.19.

Rotationsmatricer er specielle typer af deformationsmatricer.

**DEFINITION 3.1.** En 2D rotationsmatrix er bestemt ud fra en rotations-vinkel  $\varphi$  således:

$$\mathbf{R}_\varphi = \begin{bmatrix} \cos(\varphi) & -\sin(\varphi) \\ \sin(\varphi) & \cos(\varphi) \end{bmatrix}, \quad (6)$$

hvor  $\varphi$  er en vinkel i intervallet  $[-\pi, \pi]$ .

Hvis vi benytter  $\mathbf{R}_\varphi$  som afbildningsmatrix på en vektor  $\mathbf{x}$  i planen (afsat ud fra Origo), så er resultatet  $\mathbf{R}_\varphi \mathbf{x}$  en vektor, der fremkommer ved at dreje  $\mathbf{x}$  vinklen  $\varphi$  omkring Origo. Hvis  $\varphi > 0$  så roterer  $\mathbf{R}_\varphi$  vektorer i positiv omløbsretning i planen – altså imod uret, se figur 3; hvis  $\varphi < 0$  så roterer  $\mathbf{R}_\varphi$  vektorer i negativ omløbsretning – altså med uret.

---

Figur 2: Sætning 5.1 i aktion i planen. En Affin afbildning fra basistrekant til givet trekant. Animeret. Klik på figuren.

I figur 3 vises rotation af en trekant igennem rotationsintervallet  $\varphi \in [-\pi, \pi]$ .

**OPGAVE 3.** Lad  $\mathbf{a}$  betegne vektoren  $\mathbf{a} = (2 \cos(\theta), 2 \sin(\theta))$  for en given værdi af  $\theta$ . Vis, at så er  $\mathbf{R}_\varphi \mathbf{a} = (2 \cos(\theta + \varphi), 2 \sin(\theta + \varphi))$  for enhver værdi af  $\varphi$ .

**OPGAVE 4.** Vis, at enhver rotationsmatrix  $\mathbf{R} = \mathbf{R}_\varphi$  som givet ved ligningen (6) har følgende egenskaber

$$\begin{aligned} \det(\mathbf{R}) &= 1 \\ \mathbf{R}^\top \cdot \mathbf{R} &= \mathbf{E} \end{aligned} \quad (7)$$

**OPGAVE 5.** Vis omvendt, at hvis en matrix  $\mathbf{P}$  tilfredsstiller de to betingelser i (7)

$$\begin{aligned} \det(\mathbf{P}) &= 1 \\ \mathbf{P}^\top \cdot \mathbf{P} &= \mathbf{E} \end{aligned} \quad (8)$$

så er  $\mathbf{P}$  en rotationsmatrix, dvs. så findes der en vinkel  $\varphi \in [-\pi, \pi]$  sådan at

$$\mathbf{P} = \mathbf{R}_\varphi = \begin{bmatrix} \cos(\varphi) & -\sin(\varphi) \\ \sin(\varphi) & \cos(\varphi) \end{bmatrix} \quad (9)$$

Vink: Vis først – ved kun at bruge (7) – at de to søjlevektorer i  $\mathbf{P}$  begge har længden 1 og at de er vinkelrette på hinanden (med hensyn til det sædvanlige skalar-produkt

---

Figur 3: Rotation af hængsel. Animeret.

i planen. Og husk, at hvis en vektor har længden 1, så *kan* den skrives på formen  $(\cos(*), \sin(*))$ .

**OPGAVE 6.** Vis, at hvis  $\mathbf{R}_\varphi$  er en rotationsmatrix, så er den transponerede matrix  $\mathbf{R}_\varphi^\top$  også en rotationsmatrix og

$$\mathbf{R}_\varphi^\top = \mathbf{R}_{-\varphi} = \mathbf{R}_\varphi^{-1} \quad . \quad (10)$$

**OPGAVE 7.** Skalarproduktet  $\mathbf{a} \cdot \mathbf{b}$  af to vektorer  $\mathbf{a}$  og  $\mathbf{b}$  bevares ved rotation:

$$(\mathbf{R}_\varphi \mathbf{a}) \cdot (\mathbf{R}_\varphi \mathbf{b}) = \mathbf{a} \cdot \mathbf{b} \quad . \quad (11)$$

Bevis den påstand. Vink: Bemærk, og brug eventuelt, at et skalarprodukt kan skrives som et matrix-produkt:

$$\mathbf{a} \cdot \mathbf{b} = \begin{bmatrix} a_1 & a_2 \end{bmatrix} \cdot \begin{bmatrix} b_1 \\ b_2 \end{bmatrix} \quad (12)$$

Omvendt gælder, at bevarelse af skalarprodukter er (næsten) en karakteriserende egenskab ved rotationsmatricer:

**OPGAVE 8.** Hvis en lineær afbildning med matrix  $\mathbf{P}$  bevarer skalarproduktet  $\mathbf{a} \cdot \mathbf{b}$  af ethvert par af vektorer  $\mathbf{a}$  og  $\mathbf{b}$ , altså  $(\mathbf{P}\mathbf{a}) \cdot (\mathbf{P}\mathbf{b}) = \mathbf{a} \cdot \mathbf{b}$ , og hvis  $\det(\mathbf{P}) > 0$ , så er  $\mathbf{P}$  en rotationsmatrix, dvs. der findes en vinkel  $\varphi \in [-\pi, \pi]$  sådan at

$$\mathbf{P} = \mathbf{R}_\varphi = \begin{bmatrix} \cos(\varphi) & -\sin(\varphi) \\ \sin(\varphi) & \cos(\varphi) \end{bmatrix} \quad . \quad (13)$$

Bevis den påstand.

---

Figur 4: Skalering af hængsel i  $x$ -akse-retning med faktorer  $\sigma_1 \in [1, 3]$ . Animeret.

## 4 Skaleringer i akseretningerne

Skaleringsmatricerne for skalering i henholdsvis  $x$ -akse-retning og i  $y$ -akse-retning er, med givne skaleringskonstanter  $\sigma_1$  og  $\sigma_2$  langt simple end rotationsmatricer:

$$\mathbf{S}_{\sigma_1}^x = \begin{bmatrix} \sigma_1 & 0 \\ 0 & 1 \end{bmatrix} . \quad (14)$$

og

$$\mathbf{S}_{\sigma_2}^y = \begin{bmatrix} 1 & 0 \\ 0 & \sigma_2 \end{bmatrix} . \quad (15)$$

Bemærk, at vi kan udføre begge skaleringer på een gang ved:

$$\mathbf{S}_{\sigma_1, \sigma_2}^{x,y} = \mathbf{S}_{\sigma_1}^x \cdot \mathbf{S}_{\sigma_2}^y = \begin{bmatrix} \sigma_1 & 0 \\ 0 & \sigma_2 \end{bmatrix} . \quad (16)$$

Se animationerne af de to typer skaleringer i figurene 4 og 5.

**OPGAVE 9.** Lad  $\mathbf{a}$  og  $\mathbf{b}$  betegne vektorerne  $\mathbf{a} = (1, 1)$  og  $\mathbf{b} = (1, 2)$ . Bestem længderne  $|\mathbf{a}|$ ,  $|\mathbf{b}|$ ,  $|\mathbf{S}_3^x \mathbf{a}|$ ,  $|\mathbf{S}_3^x \mathbf{b}|$ . Argumentér for, at skalering i  $x$ -akseretning (og i  $y$ -akseretning) sædvanligvis *ikke* bevarer skalarprodukt af vektorer. Hvorfor kan vi kun skrive 'sædvanligvis' her?

**OPGAVE 10.** Vis, at  $\mathbf{S}_{\sigma_1}^x \cdot \mathbf{S}_{\sigma_2}^y = \mathbf{S}_{\sigma_2}^y \cdot \mathbf{S}_{\sigma_1}^x$ .

---

Figur 5: Skalering af hængsel i  $y$ -akse-retning med faktorer  $\sigma_2 \in [-1, 1]$ . Animeret.

## 5 Hovedsætning for 2D (deformations-)matricer

Der gælder et fantastisk resultat om alle matricer, som vi foreløbig vil nøjes med at formulere her for regulære  $2 \times 2$ -matricer (med positiv determinant) - for at få en første fornemmelse af, hvad det hele går ud på.

Bemærk, at vi ikke her *beviser* sætningen – det kommer senere i kurset når vi har flere værktøjer til rådighed fra lineær algebra. Faktisk gælder en tilsvarende sætning om *alle matricer* – de behøver ikke engang at være kvadratiske, men det vender vi også tilbage til i tema-opgave 4 til foråret! Det helt generelle resultat kendes under navnet SVD som står for *Singular Value Decomposition*. En god reference til dette er [4].

**SÆTNING 5.1.** *Enhver regulær  $2 \times 2$ -(deformations-)matrix  $\mathbf{K}$  med positiv determinant kan skrives som et produkt af 3 matricer (3 elementar-deformationer) således:*

$$\mathbf{K} = \mathbf{U} \cdot \mathbf{\Sigma} \cdot \mathbf{V}^T \quad , \quad (17)$$

hvor  $\mathbf{U}$  og  $\mathbf{V}$  er rotationsmatricer og hvor  $\mathbf{\Sigma}$  er en entydig bestemt diagonalmatrix med positive diagonalelementer  $\sigma_1 \geq \sigma_2 > 0$ :

$$\mathbf{U} = \mathbf{R}_\varphi = \begin{bmatrix} \cos(\varphi) & -\sin(\varphi) \\ \sin(\varphi) & \cos(\varphi) \end{bmatrix} \quad \text{hvor } \varphi \in [-\pi, \pi] \quad , \quad (18)$$

$$\mathbf{\Sigma} = \begin{bmatrix} \sigma_1 & 0 \\ 0 & \sigma_2 \end{bmatrix} \quad \text{hvor } \sigma_1 \geq \sigma_2 > 0 \quad , \quad (19)$$

$$\mathbf{V} = \mathbf{R}_\psi = \begin{bmatrix} \cos(\psi) & -\sin(\psi) \\ \sin(\psi) & \cos(\psi) \end{bmatrix} \quad \text{hvor } \psi \in [-\pi, \pi] \quad . \quad (20)$$

NB: Den transponerede matrix, som skal benyttes i (17), ser derfor således ud:

$$\mathbf{V}^T = \mathbf{R}_{-\psi} = \mathbf{R}_{\psi}^{-1} = \begin{bmatrix} \cos(\psi) & \sin(\psi) \\ -\sin(\psi) & \cos(\psi) \end{bmatrix} . \quad (21)$$

Det er denne sætning, der garanterer, at enhver affin afbildning af planen kan fremstilles som to rotationer, to skaleringer og en parallelforskydning, i passende rækkefølge, som lovet ovenfor; fordi nu kan vi jo skrive:



$$\begin{aligned} \Delta(p, \mathbf{a}, \mathbf{b}) &= \mathbf{K} \Delta(O, \mathbf{i}, \mathbf{j}) + \mathbf{p} \\ &= (\mathbf{U} \cdot \boldsymbol{\Sigma} \cdot \mathbf{V}^T) \Delta(O, \mathbf{i}, \mathbf{j}) + \mathbf{p} \\ &= (\mathbf{R}_{\phi} \cdot \mathbf{S}_{\sigma_2}^y \cdot \mathbf{S}_{\sigma_1}^x \cdot \mathbf{R}_{-\psi}) \Delta(O, \mathbf{i}, \mathbf{j}) + \mathbf{p} , \end{aligned} \quad (22)$$

og dernæst udføre hver enkelt af elementar-deformationerne i den rækkefølge på basistrekanten som eksemplificeret i figur 2.

Som sagt vil vi antage at sætningen er korrekt, og så iøvrigt se på hvordan vi *ved hjælp af sætningen* kan få oplysninger om, hvor meget der skal roteres og hvilke skaleringsfaktorer, der skal bruges, når vi kun har kendskab til konkret givne deformationsmatrixer  $\mathbf{K}$  – for eksempel med henblik på at konstruere deformationsfilmen i figur 2 – jvf. Opgave 15.



Læg mærke til, at der er lige så mange uafhængige 'oplysninger' i  $\mathbf{K}$ , nemlig de 4 matricielementer  $k_{ij}$ , som der er parametre at gøre godt med på højresiden i ligningen (17), nemlig  $\phi$ ,  $\psi$ ,  $\sigma_1$ , og  $\sigma_2$ . Så pengene passer! I den forstand udkrystalliserer sætningen det geometriske indhold af de 4 givne elementer i  $\mathbf{K}$ .

## 5.1 Bestemmelse af elementar-deformationerne

Med henblik på i ethvert konkret tilfælde at kunne splitte en deformationsmatrix  $\mathbf{K}$  op i de 4 elementar-deformationer må vi derfor nu finde ud af, hvordan vi kan bestemme  $\phi$ ,  $\psi$ ,  $\sigma_1$ , og  $\sigma_2$  direkte ud fra  $\mathbf{K}$ .

Først definerer vi (se [2, p. 120]):

**DEFINITION 5.2.** *Cauchy–Green matrixen* for den lineære afbildning, der har afbildningsmatrix  $\mathbf{K}$ , er defineret ved:

$$\mathbf{G} = \mathbf{K}^T \cdot \mathbf{K} \quad (23)$$

**OPGAVE 11.** Vis, at  $\mathbf{G}$  er symmetrisk:

$$\mathbf{G}^T = \mathbf{G} . \quad (24)$$

Ved hjælp af  $\mathbf{G}$  kan vi nu finde skaleringskonstanterne  $\sigma_1$  og  $\sigma_2$ :

**OPGAVE 12.** Bestemmelse af  $\sigma_1$  og  $\sigma_2$ : Vis, at

$$\begin{aligned}\det(\mathbf{G}) &= \sigma_1^2 \cdot \sigma_2^2 \\ \text{spor}(\mathbf{G}) &= \sigma_1^2 + \sigma_2^2 \quad .\end{aligned}\tag{25}$$

Her er et ret detaljeret *vink* til at finde sporet (og determinanten) af  $\mathbf{G}$  udtrykt alene ved  $\sigma_1$  og  $\sigma_2$ :

$$\begin{aligned}\mathbf{G} &= (\mathbf{U} \cdot \boldsymbol{\Sigma} \cdot \mathbf{V}^\top)^\top \cdot (\mathbf{U} \cdot \boldsymbol{\Sigma} \cdot \mathbf{V}^\top) \\ &= (\mathbf{V} \cdot \boldsymbol{\Sigma} \cdot \mathbf{U}^\top) \cdot (\mathbf{U} \cdot \boldsymbol{\Sigma} \cdot \mathbf{V}^\top) \\ &= \mathbf{V} \cdot \boldsymbol{\Sigma} \cdot (\mathbf{U}^\top \cdot \mathbf{U}) \cdot \boldsymbol{\Sigma} \cdot \mathbf{V}^\top \\ &= \mathbf{V} \cdot \boldsymbol{\Sigma}^2 \cdot \mathbf{V}^\top \quad .\end{aligned}\tag{26}$$

Ovenfor i (26) har vi brugt, at  $\boldsymbol{\Sigma}$  er symmetrisk og at  $\mathbf{U}$  er en rotationsmatrix:

$$\begin{aligned}\boldsymbol{\Sigma}^\top &= \boldsymbol{\Sigma} \\ (\mathbf{U}^\top \cdot \mathbf{U}) &= \mathbf{E} \quad .\end{aligned}\tag{27}$$

Den sidste ligning i (26) viser, at  $\mathbf{G}$  ikke afhænger af  $\varphi$  men kan udtrykkes udelukkende ved brug af  $\psi$ ,  $\sigma_1$ , og  $\sigma_2$ :

$$\mathbf{G} = \begin{bmatrix} \cos(\psi) & -\sin(\psi) \\ \sin(\psi) & \cos(\psi) \end{bmatrix} \cdot \begin{bmatrix} \sigma_1^2 & 0 \\ 0 & \sigma_2^2 \end{bmatrix} \cdot \begin{bmatrix} \cos(\psi) & \sin(\psi) \\ -\sin(\psi) & \cos(\psi) \end{bmatrix}\tag{28}$$

Udregn dette matrixprodukt og aflæs direkte, at sporet af  $\mathbf{G}$  er  $\sigma_1^2 + \sigma_2^2$ . Desuden fås determinanten af  $\mathbf{G}$  også umiddelbart fra (28).

Da sætning 5.1 jo garanterer, at  $\sigma_1$  og  $\sigma_2$  er positive, kan de derefter for en given matrix  $\mathbf{K}$  bestemmes direkte ud fra de to ligninger i (25) - ved simpelthen at løse en 2.grads-ligning:

Sæt  $x = \sigma_1^2$  og  $y = \sigma_2^2$ , så er

$$\begin{aligned}x \cdot y &= \det(\mathbf{G}) \\ y &= \text{spor}(\mathbf{G}) - x \quad ,\end{aligned}\tag{29}$$

sådan at det specielt følger heraf, at

$$x \cdot (\text{spor}(\mathbf{G}) - x) = \det(\mathbf{G}) \quad ,\tag{30}$$

og dermed, at  $x$  er løsning til ligningen:

$$x^2 - \text{spor}(\mathbf{G}) \cdot x + \det(\mathbf{G}) = 0 \quad ,\tag{31}$$

hvorefter  $y$  kan findes fra den sidste ligning i (29) - eller ved at bemærke, at  $y$  også er (den anden) løsning til (31)!

**OPGAVE 13.** Lad  $\mathbf{K}$  betegne følgende matricer og bestem  $\sigma_1$  og  $\sigma_2$  i hvert enkelt tilfælde. Husk, at  $x = \sigma_1^2$  og  $y = \sigma_2^2$  når du løser ligningerne ovenfor, og husk, at  $\mathbf{G} = \mathbf{K}^\top \cdot \mathbf{K}$ .

$$\begin{aligned}\mathbf{K}_1 &= \begin{bmatrix} 0 & -2 \\ 1 & 0 \end{bmatrix} \\ \mathbf{K}_2 &= \begin{bmatrix} 3 & 1 \\ 1 & 3 \end{bmatrix} \\ \mathbf{K}_3 &= \begin{bmatrix} \sqrt{3} & -1 \\ 2 & 2\sqrt{3} \end{bmatrix} .\end{aligned}\tag{32}$$

**OPGAVE (Frivillig) 14.** Bestemmelse af vinklerne  $\varphi$  og  $\psi$ : Når vi som ovenfor har fundet  $\sigma_1$  og  $\sigma_2$  ud fra  $\mathbf{K}$ , så kan  $\psi$  bestemmes ud fra 28. Hvordan? Til sidst kan  $\varphi$  bestemmes ud fra dekompositionen (17). Hvordan? Bestem værdier af  $\varphi$  og  $\psi$  for hver enkelt af de tre deformationsmatricer  $\mathbf{K}_i$  fra opgave 13 ovenfor.

**OPGAVE (Frivillig) 15.** I figur 2 konstrueres følgende trekant ved deformation af en basistrekant:

$$\Delta = \Delta(p, \mathbf{a}, \mathbf{b}) \quad ,\tag{33}$$

hvor  $p = (1, -1)$ ,  $\mathbf{a} = (0, -1)$ , og  $\mathbf{b} = (1, 3/2)$ . Bestem skaleringsfaktorerne  $\sigma_1$  og  $\sigma_2$  og vinklerne  $\varphi$ ,  $\psi$ , som 'optræder' i denne animation. Numeriske beregninger med et par betydende decimaler er OK.

## 6 Hvad koster det?

Vi forestiller os en *fabrik*  $M_P$ , der omdanner basis-trekanter  $\Delta(O, \mathbf{i}, \mathbf{j})$  til deformerede trekanter  $\Delta(O, \mathbf{a}, \mathbf{b}) = \mathbf{K} \Delta(O, \mathbf{i}, \mathbf{j})$  efter vilkårlige deformations-matricer  $\mathbf{K}$ , som defineres af kunderne. Basistrekantene haves på lager en masse og er gratis! Men hvad koster deformationerne? Fabrikken har maskiner, der kan rotere om  $O$  og skalere i akseretningerne.

Det er kun skaleringerne der *ikke* er gratis på den fabrik:

**DEFINITION 6.1.** Prisen på hver enkelt deformeret trekant (dvs. et mål for den *energi* det koster at deformere et standard hængsel med deformationsmatricen  $\mathbf{K}$ ) er på fabrikken  $M_P$  bestemt ved  $\sigma$ -værdierne for  $\mathbf{K}$ , altså  $\sigma_1 = \sigma_1(\mathbf{K})$  og  $\sigma_2 = \sigma_2(\mathbf{K})$  således:

$$P(\mathbf{K}) = (1 - \sigma_1(\mathbf{K}))^2 + (1 - \sigma_2(\mathbf{K}))^2 \quad .\tag{34}$$

En anden, konkurrerende, fabrik  $M_Q$  prissætter deformationerne på en lidt anden måde. Basistrekantene haves også her på lager og er stadig gratis:

---

**DEFINITION 6.2.** Prisen på hver enkelt deformeret basis-trekant (givet ved deformationsmatricen  $\mathbf{K}$ ) fra fabrikken  $M_Q$  defineres også her ud fra  $\sigma$ -værdierne for  $\mathbf{K}$ , men nu efter følgende formel:

$$Q(\mathbf{K}) = \left( \frac{1}{\sigma_1(\mathbf{K})} - \sigma_1(\mathbf{K}) \right)^2 + \left( \frac{1}{\sigma_2(\mathbf{K})} - \sigma_2(\mathbf{K}) \right)^2 . \quad (35)$$

**OPGAVE 16.** Hvilken fabrik er i hvert enkelt tilfælde billigst ved produktionen af de trekanter, der fremkommer ved brug af de 3 deformationsmatricer  $\mathbf{K}_i$ , der er angivet i opgave 13?

**OPGAVE 17.** Gælder det, at uanset hvilken trekant kunden ønsker konstrueret, så er det altid den *samme* fabrik (af de to betragtede), der kan gøre det billigst?

I materialeforskningen spiller Cauchy–Green matricerne og de tilhørende  $\sigma_i$ -værdier for deformationsmatricerne  $\mathbf{K}$  en fundamental rolle for beskrivelsen af hvordan forskellige materialer reagerer under ekstern påvirkning og dermed for hvor meget energi (den pris) det *koster* at deformere materialet, se f.eks. [2].



I analysen af punkt-konfigurationer i rummet (såkaldte shape spaces) er der tilsvarende andre dybtliggende anvendelser af SVD-faktoriseringer. Hvis vi f.eks. tegner to trekanter  $a$  og  $b$  i planen, kan vi så definere et godt *afstandsmål*  $d(a, b)$  i mængden af trekanter, altså et mål for hvor meget trekanter 'ligner hinanden'? Sådant et  $d$  skal selvfølgelig opfylde trekantsuligheden  $d(a, b) + d(b, c) \geq d(a, c)$  for alle tripler af trekanter  $a$ ,  $b$ , og  $c$ ; desuden skal  $d(a, b) = 0$  hvis (og kun hvis) de to trekanter er ens  $a = b$ , og det skal være symmetrisk og positivt  $d(a, b) = d(b, a) \geq 0$ . Med andre ord: mængden af trekanter med dette afstandsmål skal være et *metrisk rum*. Spørgsmål af denne type giver anledning til overraskende resultater og et væld af nye spørgsmål, som tilhører den aktuelle forskningsfront, se f.eks. [1, 5, 3].

## 7 3D Generaliseringer

I rummet, hvor det er rumlige figurer vi gerne vil deformere, er sagen selvsagt en anelse mere kompliceret end i 2D – især hvad rotationerne angår. Der kan vi jo rotere og dreje om både  $x$ -aksen,  $y$ -aksen, og  $z$ -aksen, og vi kan kombinere disse rotationer til sammensatte lineære afbildninger, der i en præcis forstand roterer om hver enkelt af koordinataksene som vist i figur 6 sammen med de nødvendige skaleringer i hver af de tre akseretninger.

---

Figur 6: SVD i aktion i rummet. Animeret.

## Litteratur

- [1] Dmitri Burago, Yuri Burago, and Sergei Ivanov. *A course in metric geometry*, volume 33 of *Graduate Studies in Mathematics*. American Mathematical Society, Providence, RI, 2001.
- [2] Oscar Gonzalez and Andrew M. Stuart. *A first course in continuum mechanics*. Cambridge Texts in Applied Mathematics. Cambridge University Press, Cambridge, 2008.
- [3] Hui Ling Le and David G. Kendall. The Riemannian structure of Euclidean shape spaces: a novel environment for statistics. *Ann. Statist.*, 21(3):1225–1271, 1993.
- [4] Ben Noble and James W. Daniel. *Applied linear algebra*. Prentice-Hall Inc., Englewood Cliffs, N.J., second edition, 1977.
- [5] Andrew Swann and Niels Holm Olsen. Linear transformation groups and shape space. *J. Math. Imaging Vision*, 19(1):49–62, 2003.